

بررسی تأثیر گرمايش موضعی بر نیروهای آيرودینامیکی جريان حول استوانه در رینولدز ۱۰۰۰

محمدمهدي فلاحي (دانشجوی کارشناسی ارشد)

نگار باتيان^{*} (استاديار)

دانشکدهي مهندسي مكانيك و اجزي، دانشگاه شهيد بهشتي

برهمكنش لاييه مرزي حرارتی و سیالاتی حول استوانه در جريان هواي عبوری با رينولدز ۱۰۰۰ به روش عددی مورد بررسی قرار گرفت. تغیير دما در سطح استوانه موجب تغيير خواصي همچون چگالي، لزجت، گرمای ویژه و ضریب رسانش هوا می شود که باعث تغيير الگوی جريان پیرامون استوانه اند. افزایش لزجت هوا با کاهش عدد رینولدز و افزایش اصطکاک سطحی همراه است. با افزایش اصطکاک سطحی روی استوانه در حالت حرارت پایین دست، قدرت چرخش گردابه کاهش يافته و گردابه ها در پایین دست استوانه کشیده تر شده و تقارن بيشتری نسبت به محور افقی پیدا می کنند. در نتيجه لاييه هاي برشی آزاد ديرتر يكديگر را قطع کرده و توزيع متقارن تری از سرعت و فشار به وجود می آورند که موجب کاهش دامنه نوسان نیروهای آيرودیناميکي و كتربل جريان شده است. استفاده از المان حرارتی با دمای ۱۰۰۰ درجه سانتي گراد در پایین دست استوانه می تواند نیروی برا را تا ۸۷٪ و نیروی پسا را تا ۲۵٪ کاهش دهد.

mo.falahi@mail.sbu.ac.ir
n_nabatian@sbu.ac.ir

وازگان کلیدی: کتربل جريان، انتقال حرارت، لاييه مرزي حرارتی، لاييه مرزي سیالاتی، نیروهای آيرودیناميکي.

۱. مقدمه

جريان عبوری از روی استوانه به دليل کاربردهای فراوانی که در صنایع مختلف از جمله میدل ها، انواع توربین ها، برج های خنک کننده، سازه های دریایی و ابزارهای اندازه گیری دارد از اهمیت خاصی برخوردار است.^[۱] توزيع غیر یکنواخت فشاری حول استوانه منجر به ایجاد نیروهای آيرودیناميکي برا و پسا می شود که می تواند سازه را متعرش کند. این امر باعث تخریب سازه و کاهش عمر آن و افزایش هزینه های تعمیر و نگهداری می شود. بنابراین کتربل جريان می تواند نقش مهمی در کتربل و کاهش این نیروها داشته باشد؛ اين امر می تواند به صورت غیرفعال مانند تغييرات هندسى، اعمال مولد گردابه یا افزودن قطعات و تجهيزات اضافي به هندسه اصلی صورت گيرد. کتربل جريان به صورت فعال با اعمال يك منبع انرژي خارجي صورت می گيرد. مکش جريان، اعمال پلاسما یا کتربل جريان از طریق انتقال حرارت مثال هایی از کتربل فعال جريان هستند.^[۲] در زمینه ی بررسی اثرات تقابل لاييه مرزي سرعت بر لاييه مرزي حرارتی مطالعات متعددی انجام شده است. گولانی و دیمان^[۳] به

جريان عبوری از روی استوانه به دليل کاربردهای فراوانی که در صنایع مختلف از جمله میدل ها، انواع توربین ها، برج های خنک کننده، سازه های دریایی و ابزارهای اندازه گیری دارد از اهمیت خاصی برخوردار است.^[۱] توزيع غیر یکنواخت فشاری حول استوانه منجر به ایجاد نیروهای آيرودیناميکي برا و پسا می شود که می تواند سازه را متعرش کند. این امر باعث تخریب سازه و کاهش عمر آن و افزایش هزینه های تعمیر و نگهداری می شود. بنابراین کتربل جريان می تواند نقش مهمی در کتربل و کاهش این نیروها داشته باشد؛ اين امر می تواند به صورت غیرفعال مانند تغييرات هندسى، اعمال مولد گردابه یا افزودن قطعات و تجهيزات اضافي به هندسه اصلی صورت گيرد. کتربل جريان به صورت فعال با اعمال يك منبع انرژي خارجي صورت می گيرد. مکش جريان، اعمال پلاسما یا کتربل جريان از طریق انتقال حرارت مثال هایی از کتربل فعال جريان هستند.^[۲] در زمینه ی بررسی اثرات تقابل لاييه مرزي سرعت بر لاييه مرزي حرارتی مطالعات متعددی انجام شده است. گولانی و دیمان^[۳] به

* نويسنده مسئول

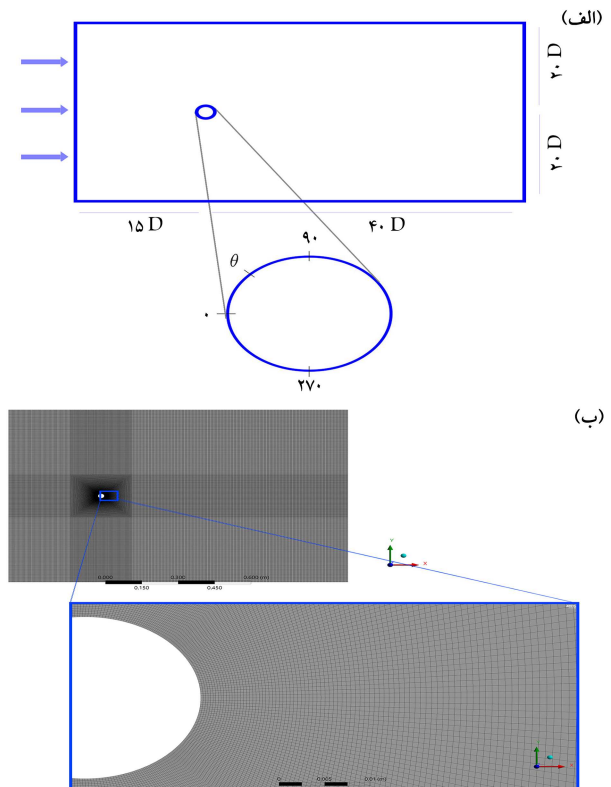
تاریخ: دریافت ۱۸/۱/۱۴۰۱، اصلاحیه ۱۹/۶/۱۴۰۱، پذیرش ۲۹/۶/۱۴۰۱.

DOI:10.24200/J40.2022.60657.1647

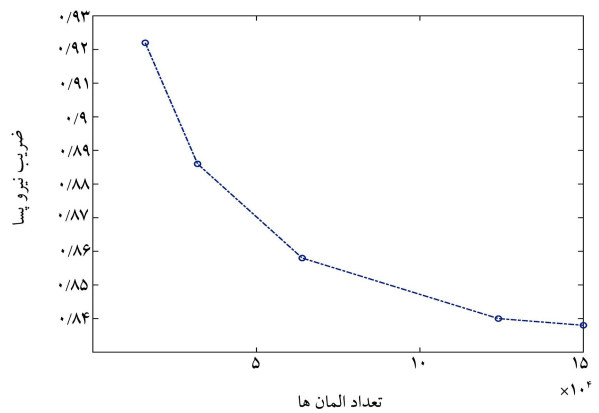
استناد به این مقاله:

فلاحی، محمدمهدي و باتيان، نگار(۱۴۰۲). «بررسی تأثیر گرمايش موضعی بر نیروهای آيرودیناميکي جريان حول استوانه در رينولدز ۱۰۰۰»، مهندسي مكانيك شريف، (۱)، ۳۹-۳، ص. ۷۷-۶۹.

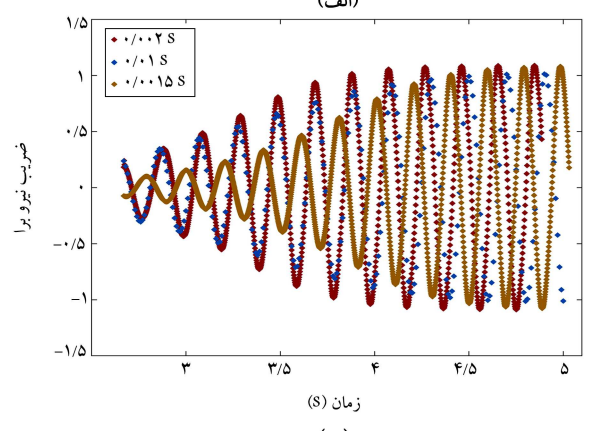
ارتفاع انتقال حرارت و عدد ناسلت در استوانه‌های پایین دست می‌شود. همچنین ضریب اصطکاک سطحی روی استوانه‌ی بیضوی به شکل قابل توجهی کمتر از استوانه‌ی دایروی است. آشنایخ^[۱۱] به بررسی برهمکنش جریان و حرارت در جریان با رینولذزهایی در محدوده‌ی $10^3 \times 10^4 \times 10^5$ حول استوانه پرداخت و جدایش جریان، تش بشی و توزیع فشار حول استوانه را مورد بررسی قرارداد. او با استناد به نتایج به دست آمده بیان کرد که افزایش عدد رینولذز جریان موجب تغییر در نقطه‌ی جدایش جریان می‌شود و سپس اثر آن را بر مشخصه‌های مختلف جریان و انتقال حرارت همچون اندازه‌ی گردابه‌های تشکیل شده در پشت استوانه، نیروی پسا و عدد ناسلت مورد بحث قرارداد. درویش یادگاری و حسن زاده^[۱۲] به بررسی جریان سیال عبوری از روی دو استوانه‌ی مجاور با جهت‌های دورانی مخالف یکدیگر و عدد رینولذز 2×10^5 پرداخته و اثر پارامترهای همچون فاصله‌ی بین دو استوانه و سرعت زاویه‌ی آنها بر الگوی جریان، تغییرات انتقال حرارت از سطح استوانه‌ها، جدایش گردابه‌ها و نیروهای وارد بر استوانه‌ها را مورد بررسی درآمدند. نتایج نشان داد که افزایش سرعت دورانی استوانه‌ها، نز انتقال حرارت از آنها و نیروی پساوار وارد بر آنها را کاهش می‌دهد. علت این پدیده، کاهش ناچیه‌ی جدایش جریان در سرعت‌های دورانی پایین و توقف جدایش گردابه‌ها در سرعت‌های دورانی بالاتر است. چینگ ژه‌زیه و گنگ ناز زیه^[۱۳] جریان سیال کریں دی اکسید فوق بحرانی عبوری از روی یک استوانه را در رینولذزهای $15-150$ مورد مشاهده قراردادند. نتایج نشان داد که در رینولذزهای مشابه، فرکانس جدایش گردابه‌ها برای سیال فوق بحرانی در مقایسه با هوا افزایش می‌یابد. به علاوه برای درک بهتر تفاوت الگوهای جریان در دو سیال فوق، توزیع دقیق ضریب فشار محلی، ضریب اصطکاک سطحی و عدد ناسلت در امتداد محیط استوانه ارائه شده است. دیک کی و همکاران^[۱۴] جریان عبوری از روی کاتال با مقطع مربعی و رینولذز 10^5 را مورد مطالعه قراردادند. سطح بالای مقطع مربعی به عنوان المان حرارتی در نظر گرفته شد. نتایج نشان داد که افزایش دمای المان حرارتی از پره در سطح استوانه به صورت غیرمتقارن اتفاق می‌افتد. بروزی و غضنفریان^[۱۵] به بررسی اثر استفاده از پره در سطح استوانه بر مشخصه‌های جریان با رینولذزهایی در محدوده $100-200$ پرداختند. نتایج نشان داد که افزایش طول پره موجب افزایش نیروی پساوار وارد بر جسم می‌شود، حال آن که افزایش تعداد پره‌ها موجب کاهش نیروی پسا می‌شود. همچنین مشاهده شد که افزایش تعداد پره‌ها، موجب کاهش عدد ناسلت متوسط سطح آنها می‌شود. وانگ و همکاران^[۱۶] مطالعه‌ی تجزیی خود را برای جریان‌های گذرنده از استوانه با رینولذزهایی در محدوده‌ی 10^4-18^5 و دمای مختلف در سطح جسم انجام دادند. افزایش دما در سطح استوانه، عدد رینولذز بحرانی که جدایش گردابه‌ها در آن رخ می‌دهد را افزایش می‌دهد. اس. آیا^[۱۷] در مطالعه‌ی خود اثر استفاده از المان‌های حرارتی با شار حرارتی ثابت بر سطح استوانه در رینولذزهای $10^4 \times 10^5 \times 10^6$ را مورد بررسی قرارداد. نتایج او نشان داد که تأخیر در نقطه‌ی جدایش موجب کاهش عرض گردابه‌های تشکیل شده در پشت استوانه می‌شود و این امر سبب تأثیر بر توزیع فشار حول استوانه و نیروهای وارد بر آن می‌شود. اریف و حسن^[۱۸] به بررسی اثر تغییر عدد ریچاردسون بر پدیده جدایش گردابه‌ها در جریان هوای عبوری از سطح مقطعی مریع شکل پرداختند و عدد ریچاردسون بحرانی را که در آن پدیده‌ی جدایش گردابه‌ها متوقف می‌شود، محسوبه کردند. مشاهده شد که متوسط نیروی پسا، عدد استروهال و عدد ناسلت با افزایش عدد ریچاردسون افزایش می‌یابد. با این حال دامنه‌ی نوسان نیروی برآ و اندازه‌ی گردابه‌ها در پایین دست جسم کاهش می‌یابد. همسی و همکاران^[۱۹] در استوانه را برای رینولذزهایی در محدوده‌ی $10-45$ بررسی و نتایج حاصله را با مطالعات پیشین مقایسه کردند. نتایج نشان داد که افزایش عدد رینولذز موجب افزایش طول گردابه‌ها و زاویه‌ی جدایش جریان می‌شود. همچنین بررسی عدد ناسلت نشان داد که مقدار ضریب انتقال حرارت در نقطه‌ی سکون بالا دست استوانه پیشینه است و هرچه بر سطح استوانه پیش رویم، کاهش می‌یابد. همدم و هی^[۲۰] اثر اعمال حرارت بر سطح استوانه را برای جریان دوفازی آب، هوا و روغن و ترکیبات آنها با نسبت‌های گوناگون مورد بررسی قرار دادند و ضریب انتقال کالی انتقال حرارت در این حالت‌ها را محاسبه کردند. طبق نتایج به دست آمده، ضریب انتقال حرارت برای مخلوط آب و هوا در مقایسه با مقدادر مربوط به آب، تغییر چندانی نداشت. اما مقادیر آن برای مخلوط هوا و روغن 70% رشد کرد. بیشترین مقادیر به دست آمده ضریب انتقال حرارت برای مخلوط آب و روغن 70% بر رینولذز است. اثر سرمایش و گرمایش در سطح استوانه را بر روی جریان با دو مقدار رینولذز 10^4 و 10^5 برای دماهای متفاوت بررسی کردند و به محاسبه‌ی درصد تغییر مقدار متوسط ضرایب پسای اصطکاکی و فشاری پرداختند. آنها دریافتند که در جریان با رینولذز 10^4 ، سرمایش موجب کاهش هر دو ترم پسا می‌شود؛ اما در جریانی با رینولذز 10^5 ، سرمایش فقط پسای اصطکاکی را کاهش می‌دهد. فنگ و همکارانش^[۲۱] به بررسی اثر انتقال حرارت و خنککاری موضعی جریان هوا در رینولذز پایین پرداختند. هدف مطالعه، کنترل جریان و کاهش نوسانات نیروی برا بوده است. نتایج نشان داد که محل قرارگیری المان حرارتی، اثرات متفاوتی بر الگوی جدایش جریان دارد. آنها دریافتند که انتقال حرارت در نزدیکی محل جدایش جریان می‌تواند اثرات نایابدار کننده داشته باشد. در حالی که خنککاری جریان از همان موضع، پایداری را افزایش می‌دهد و مدلی بر پایه‌ی ترکیب حرارت دادن و خنککاری برای کنترل کامل نیروی برا توسعه دادند، هر چند که دلیلی برای تغییرات رفتار نیروهای وارد بر استوانه ارائه ندادند. جی. ام. شی و همکارانش^[۲۲] اثر انتقال حرارت بر نیروی پسای سطح استوانه و نیز نقش نتش‌های برشی و فشاری در نیروی پسا را بررسی کردند. جریان عبوری از سطح استوانه با رینولذز کمتر از 170 مورد مطالعه قرار گرفت. مقادیر مختلفی برای نسبت دمای سطح استوانه به دمای جریان سیال در نظر گرفته شد و خواص سیال شامل چگالی، ضریب رسانش، گرمای ویه و لزجت تابعی از دما در نظر گرفته شدند. مشاهده شد که اعمال حرارت بر سطح استوانه منجر به افزایش نیروی پسا می‌شود. همچنین تأثیر تغییرات لزجت و چگالی نسبت به دما بر نیروهای وارد بر جسم با یکدیگر مقایسه شد. پارک و همکارانش^[۲۳] به بررسی عددی و تجربی اثر انتقال حرارت از سطح لوله با مقطع دایروی و بیضوی پرداخته و نتایج عدد ناسلت و نقطه‌ی جدایش را در دو حالت با یکدیگر مقایسه کردند. سپس مطالعه‌ی فوق را بر روی مجموعه‌ی از استوانه‌های هم‌ردیف انجام داده و اثر آشفتگی جریان ناشی از استوانه بالا دست را بر مشخصه‌های انتقال حرارت از استوانه پایین دست بررسی کردند. مشاهده شد که عدد ناسلت متوسط در استوانه‌ی بیضوی کمتر از دایروی است چرا که محل جدایش جریان در باره زاویه‌ی $140-120$ قرار دارد، در حالی که در استوانه با مقطع دایروی، جدایش جریان در محدوده $80-100$ درجه رخ می‌دهد. همچنین ناسلت محلی برای دو هندسه‌ی موردنظر مطالعه، الگوی متفاوتی دارد. بررسی جریان حول استوانه‌های هم‌ردیف نشان داد که در رینولذزهای پایین، متوسط عدد ناسلت در استوانه‌های پایین دست در مقایسه با استوانه اول کاهش می‌یابد. در حالی که با افزایش عدد رینولذز، آشفتگی ایجاد شده پشت استوانه‌ی بالا دست موجب



شکل ۱. (الف) هندسه‌ی مورد مطالعه و ابعاد آن؛ (ب) شبکه‌ی محاسباتی.



(الف)



(ب)

شکل ۲. (الف) استقلال از شبکه؛ (ب) بررسی استقلال از گام زمانی بر حسب ثانیه.

مطالعه‌شان به بررسی اثر انتقال حرارت بر گردابه‌های تشکیل شده پشت استوانه و فرکانس جدایش آنها در رینولدزهای کمتر از 200 پرداختند. نتایج نشان داد که حرارت بر اندازه‌ی گردابه‌ها و فرکانس جدایش آنها مؤثر است، به شکلی که طول گردابه‌ها را افزایش و فرکانس جدایش را کاهش می‌دهد.

تاکنون مطالعات زیادی در مورد اثر تغییر در لایه‌ی مرزی سیالاتی با تغییر عدد رینولدز بر لایه‌ی مرزی حرارتی صورت گرفته است، اما اثر اعمال تغییر در لایه‌ی مرزی حرارتی بر مشخصه‌های لایه‌ی مرزی سیالاتی کمتر مورد توجه محققان بوده است. علاوه بر این، استفاده‌ی موضعی از حرارت برای کنترل جریان حول استوانه به ندرت مورد توجه قرار گرفته است. در این پژوهش تأثیر تغییر لایه‌ی مرزی حرارتی بر روی لایه‌ی مرزی سیالاتی با استفاده از تقریب تشابه رینولدز بررسی شده و دلایل فیزیکی دینامیک جریان با استفاده از توزیع سرعت، فشار، تنش، برشی و مشخصه‌های گردابه‌های تشکیل شده توضیح داده شده است. همچنین، تأثیر موقعیت و اندازه و دمای المان حرارتی در سطح استوانه مطالعه شده و در نهایت، چیدمان کنترلی جریان با بیشترین میزان کاهش در نوسانات نیروهای آبرودینامیکی مشخص شده است.

۲. شرح مسئله و روش حل

پدیده‌ی جدایش گردابه‌ها، حاصل در معرض جریان قرار گرفتن جسمی است که خطوط جریان قادر به دنبال کردن سطح آن نیستند. با عبور جریان از روی استوانه و تشکیل لایه‌ی مرزی، لزجت سیال سبب کاهش سرعت جریان در نزدیکی سطح جسم می‌شود. با جدایش جریان به علت گردابان مثبت فشار در پایین دست استوانه گردابه‌ها تشکیل می‌شوند. به دلیل ایده‌آل نبودن سطح جسم، جدایش در یک سمت لحظه‌یی زودتر اتفاق می‌افتد. جدایش متابو گردابه‌ها منجر به ایجاد نوسانات دوره‌یی فشار در جهت جریان و عمود بر آن می‌شود. فرکانس جدایش گردابه‌ها متناسب با سرعت جریان تغییر می‌کند.^[۱] چنان که اشاره شد، تغییر لایه‌ی مرزی سیالاتی بر لایه‌ی مرزی حرارتی تأثیرگذار است. روابطی^[۲] این می‌کند که ضریب اصطکاک سطح با عدد ناسلت ($Nu = \frac{hD}{k}$) رابطه‌ی مستقیم و با اعداد رینولدز ($Re = \frac{V D}{\nu}$) و پراتل ($Pr = \frac{\alpha}{\nu}$) رابطه‌ی معکوس دارد.^[۳] در این روابط h ضریب انتقال حرارت جابجا، D قطر استوانه، k ضریب انتقال حرارت رسانشی، V سرعت جریان، ν لزجت سینماتیکی و α نفوذ حرارتی را بیان می‌کنند.

$$C_f \sim \frac{Nu}{Re Pr} \quad (1)$$

عدد پراتل نسبت لزجت سینماتیکی به نفوذ حرارتی را بیان می‌کند. در شبیه‌سازی‌ها از اثر گرانش بر حرکت سیال چشم پوشی شده است. استوانه با قطر 0.0254 متر در دامنه‌ی حل مستطیلی شبکی مطابق شکل ۱ الف قرار دارد. زاویه‌ی θ نشان دهنده‌ی موقعیت المان حرارتی در دستگاه مختصات استوانه‌ی است، به نحوی که مقدار آن در نقطه‌ی سکون بالا درست استوانه صفر است. شبکه‌ی ساختار یافته‌ی دامنه‌ی محاسباتی در شکل ۱ ب نشان داده شده است. نتایج حاصل از استقلال از گام زمانی و شبکه‌بندی برای پارامترهای بی بعد ضریب برای $C_l = \frac{L}{\sqrt{\rho V^2 A}}$ و ضریب پسا $C_d = \frac{D}{\sqrt{\rho V^2 A}}$ در شکل ۲ نشان داده شده است. در این روابط L نیرو بر، D نیرو پسا، ρ چگالی سیال، V سرعت جریان و A سطح مقابل جریان جسم هستند. استقلال از شبکه و گام زمانی مطابق شکل ۲ انجام و در نهایت شبکه‌یی با تعداد 148000 المان و گام زمانی 2×10^{-3} ثانیه انتخاب شده است. نرم افزار فلوئنت

جدول ۱. ضرایب چندجمله‌ای استفاده شده برای توصیف خواص هوا بر حسب دما.

رسانش ($W \cdot m^{-1} \cdot K^{-1}$)	گرمای ویژه ($m^3 \cdot s^{-1} \cdot K^{-1}$)	لزجت دینامیکی ($Kg \cdot m^{-1} \cdot s^{-1}$)	چگالی ($Kg \cdot m^{-3}$)	
$0,00224872$	$1103,508$	$1,47 \times 237 \times 10^{-6}$	$3,111722$	a_0
$8,100874 \times 10^{-5}$	$-0,7594331$	$6,994188 \times 10^{-8}$	$-0,01007669$	a_1
$7,1722742 \times 10^{-9}$	$0,001831453$	$-0,108803 \times 10^{-11}$	$1,510452 \times 10^{-5}$	a_2
$-1,53446 \times 10^{-11}$	$-1,41680 \times 10^{-8}$	$2,814313 \times 10^{-14}$	$-1,05849 \times 10^{-8}$	a_3
$6,322844 \times 10^{-15}$	$3,817016 \times 10^{-10}$	$-6,672494 \times 10^{-18}$	$2,800991 \times 10^{-12}$	a_4

 جدول ۲. مقایسه ضریب نیروی پسا و عدد استروهال در جریان سرد و مطالعات پیشین در رینولدزهای 10^0 و 10^{00} .

$Re = 1000$		$Re = 10^0$		
St	$C_{d,mean}$	St	$C_{d,mean}$	
$0,218$	$1,3412$	$0,1628$	$1,3422$	کار حاضر
-	-	$0,16366$	$1,325$	همسی و همکاران [۱۹]
$0,197-0,201$	$1,27-1,31$	$0,165$	$1,39$	
(عددی)	(عددی)	(عددی)	(عددی)	لین و همکاران [۲۴]
$0,21$	۱	$1,64$	$1,25-1/4$	
(تجربی)	(تجربی)	(تجربی)	(تجربی)	صالحی و همکاران [۲۳]
-	-	$0,1613$	$1,3918$	

عدد رینولدز جریان، ضریب اصطکاک سطحی کاهش می‌یابد.^[۲۳]

$$C_f = \frac{\tau_w}{\frac{1}{4} \rho V^2} \quad (3)$$

$$C_f = [2 \log Re_x - 0/65]^{-\frac{1}{2}} \quad (4)$$

از روابط ۱ و ۴ می‌توان دریافت که افزایش عدد ناسلت با افزایش ضریب اصطکاک سطح و کاهش رینولدز جریان همراه است. همچنین افزایش دما منجر به افزایش لزجت هوا و عدد پرانتل می‌شود. تغییرات تنفس برشی بر محل جدایش جریان مؤثر است و از این رو مورد بررسی قرار می‌گیرد. اعداد بی بعد ضریب فشار و استروهال به ترتیب مطابق رابطه‌های ۵ و ۶ برای بررسی اثرات متقابل لایه‌ی مرزی حرارتی و سرعتی استفاده شده است.

$$C_p = \frac{P - P_\infty}{\frac{1}{4} \rho V^2} \quad (5)$$

$$St = \frac{fD}{V} \quad (6)$$

در معادله‌ی ۶، f فرکانس جدایش گردابه‌هاست.

به عنوان حل گر معادلات نویر - استوکس شامل پایستگی، مومنتوم و انرژی مطابق رابطه‌ی ۲ به عنوان معادلات حاکم بر رفتار سیال مورد استفاده قرار گرفته است. از مدل آشفتگی میانگین رینولدز $k - \omega$ SST برای محاسبه‌ی ترم تنفس رینولدز و از روش کوپل شده برای جفت‌سازی میدان سرعت و فشار استفاده شده است.

$$\begin{aligned} \frac{\partial \rho}{\partial t} + \frac{\partial (\rho u_i)}{\partial x_i} &= 0 \\ \frac{\partial (\rho u_i)}{\partial t} + \frac{\partial (\rho u_i u_j)}{\partial x_j} &= \frac{\partial p}{\partial x_i} + \frac{\partial}{\partial x_j} [\mu (\frac{\partial u_i}{\partial x_j} + \frac{\partial u_j}{\partial x_i})] \\ \frac{\partial (\rho e)}{\partial t} + \frac{\partial (\rho u_j e)}{\partial x_j} &= \frac{\partial}{\partial x_j} [k \frac{\partial T}{\partial x_j}] \end{aligned} \quad (2)$$

در این روابط u سرعت، p فشار، T دما و e انرژی ویژه هستند. سیال تراکم‌ناپذیر در نظر گرفته شده و از اثربخشی صرف نظر شده است. همچنین اثر تغییر دما بر خواص هوا شامل چگالی، لزجت، گرمای ویژه و رسانش با استفاده از یک چند جمله‌ای درجه ۵ برای مدل‌سازی استفاده شده است. ضرایب چندجمله‌ای استفاده شده برای هر یک از خواص وابسته به دما در جدول ۱ ارائه شده است. این ضرایب با استفاده از اطلاعات موجود در جداول مرجع^[۲۴] تهیه شده‌اند. سرعت جریان در ورودی 0^0 متر بر ثانیه و فشار نسبی در مرز خروجی صفر در نظر گرفته شده است. شرط عدم لغزش بر روی سطح استوانه اعمال شده است. دیواره‌ی جانبی به صورت لغزش آزاد و دیواره‌های کناری متقارن در نظر گرفته شده‌اند. دمای جریان آزاد ثابت و ۲۵ درجه سانتی‌گراد است.

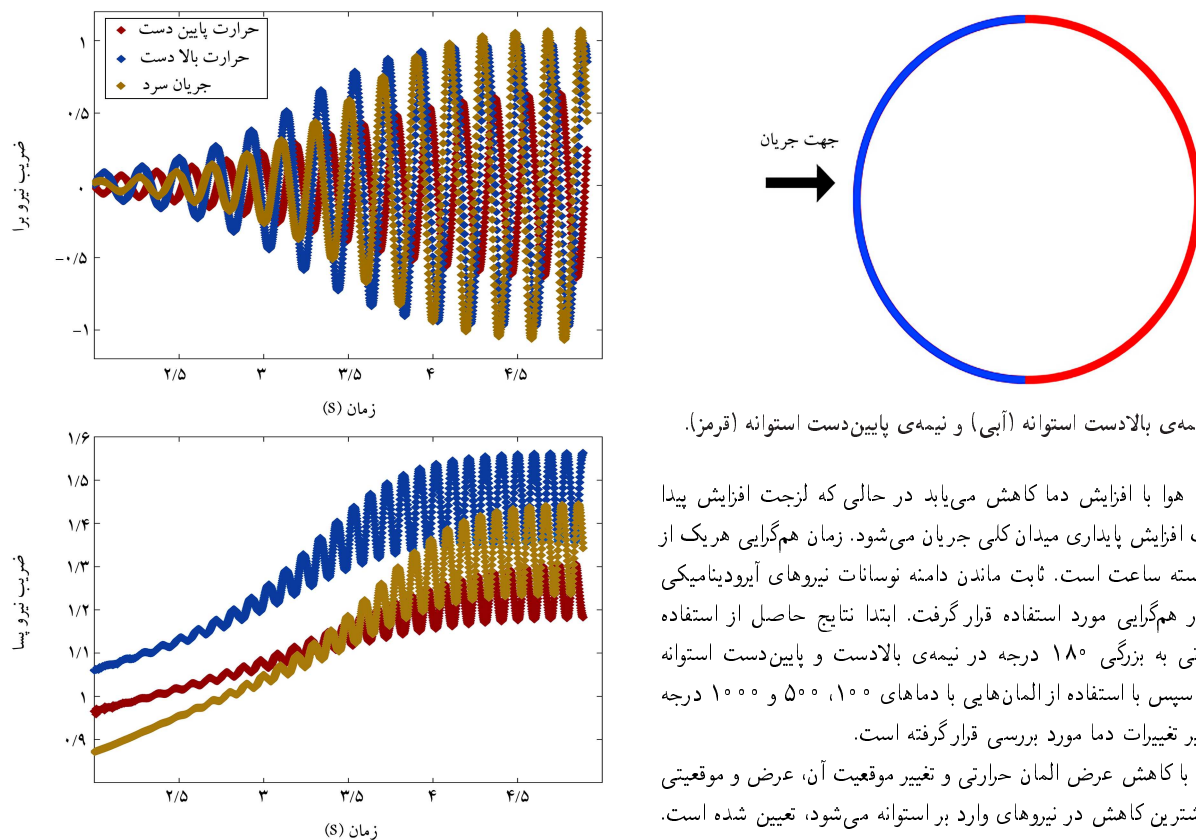
به منظور بررسی تأثیر استفاده از المان حرارتی بر نقطه‌ی جدایش جریان، از مقدار ضریب اصطکاک سطحی استفاده می‌شود. رابطه‌ی ۳ ضریب اصطکاک سطحی را تعریف می‌کند که مقدار آن در نقطه‌ی جدایش صفر است. τ تنفس برشی در سطح دیواره را نشان می‌دهد. رابطه‌ی تجربی^۴ نشان می‌دهد که با افزایش

۳. تحلیل نتایج

مقایسه‌ی نتایج مطالعه‌ی حاضر با مطالعاتی که پیش از این برای جریان حول استوانه در رینولدز 10^0 و 10^{00} انجام شده، نشان از تطابق قابل قبول مدل استفاده شده دارد (جدول ۲). چنان که اشاره شد، تغییر دما بر مشخصه‌های فیزیکی هوا مؤثر

جدول ۳. درصد تغییرات نیروهای وارد بر استوانه در اثر اعمال المان حرارتی با دمای 50°C درجه سانتی‌گراد در موقعیت‌های مکانی مختلف.

درصد تغییر نیروی پسا	درصد تغییر نیروی برا	جریان سرد
-	-	المان حرارتی در نیمه‌ی بالا دست استوانه
+١٠,٦	-٧,٨	المان حرارتی در نیمه‌ی پایین دست استوانه
-٥	-٤١,٤	



شکل ۴. نمودار نیروی پسا و نیروی برا در حالت استفاده از المان حرارتی در دمای 50°C درجه سانتی‌گراد.

حالی که به کارگیری المان در پایین دست استوانه موجب کنترل نیروها می‌شود. به کارگیری المان حرارتی با دمای 100°C درجه سانتی‌گراد در زاویه ۲۵۵ تا $105^{\circ} = \theta$, دامنه تغییرات نیروی برا را $87/1$ ٪ و متوسط نیروی پسا را $25/9$ ٪ در مقایسه با جریان سرد کاهش می‌دهد. افزایش لزجت هوا در محل المان حرارتی، موجب افزایش تنش برشی بر سطح استوانه شده و جدایش را به تأخیر می‌اندازد.

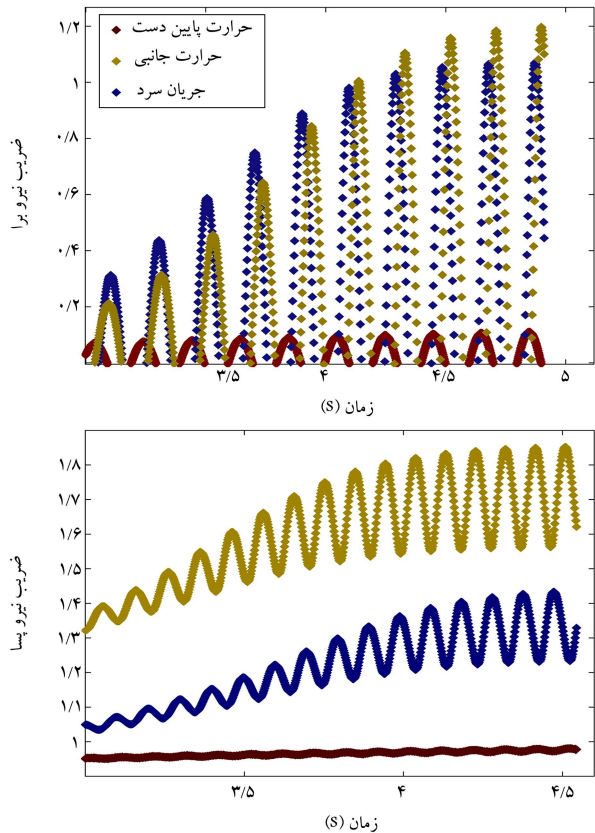
در نمودار شکل ۸ توزیع ضریب اصطکاک سطحی روی استوانه در حالت جریان سرد، حرارت جانبی و پایین دست با دمای 100°C درجه سانتی‌گراد بر سطح استوانه را نشان می‌دهد. از نتایج می‌توان دریافت که در حالت گرمایش جانبی، نقطه‌ی جدایش بالا $9/2$ درجه و نقطه‌ی جدایش پایین $4/5$ درجه در مقایسه با جریان سرد به تأخیر افتاده است. علاوه بر این مشاهده می‌شود که در حالت حرارت از پایین دست به عمل افزایش لزجت هوا، ضریب اصطکاک سطحی در پایین دست استوانه افزایش قابل ملاحظه‌ی یافته است. همچنین، عدد بی بعد استرöhال در حالت حرارت پایین دست به $21/0$ کاهش یافته، در حالی که در حالت حرارت جانبی، زودتر جدا شدن گردابه‌ها و کاهش طول آنها سبب شده که عدد استرöhال

شکل ۳. نیمه‌ی بالا دست استوانه (آبی) و نیمه‌ی پایین دست استوانه (قرمز).

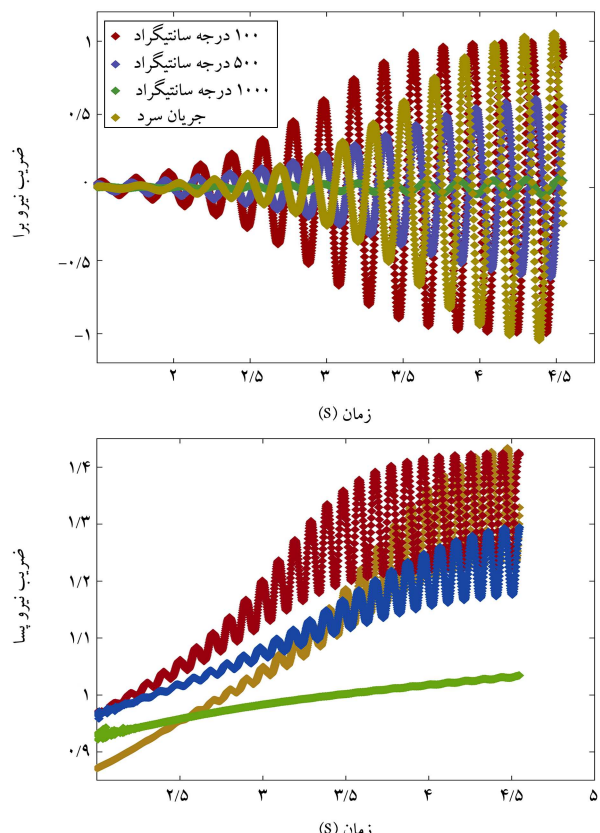
است. چگالی هوا با افزایش دما کاهش می‌باید در حالی که لزجت افزایش پیدا می‌کند و باعث افزایش پایداری میدان کلی جریان می‌شود. زمان هم‌گرایی هریک از مدل‌ها 26 هسته ساعت است. ثابت ماندن دامنه نوسانات نیروهای آبودینامیکی به عنوان معیار هم‌گرایی مورد استفاده قرار گرفت. ابتدا نتایج حاصل از استفاده از المان حرارتی به بزرگی 180° درجه در نیمه‌ی بالا دست استوانه و پایین دست استوانه بررسی شده و سپس با استفاده از المان‌هایی با دمای 10° , 50° و 100°C درجه سانتی‌گراد، تأثیر تغییرات دما موردن بررسی قرار گرفته است.

در نهایت با کاهش عرض المان حرارتی و تغییر موقعیت آن، عرض و موقعیتی که منتج به بیشترین کاهش در نیروهای وارد بر استوانه می‌شود، تعیین شده است. محل قرارگیری المان‌ها در شکل ۳ نشان داده است. در جدول ۳ میزان تغییرات متوسط نیروهای برا و پسا در دو حالت استفاده از المان حرارتی با دمای 50°C درجه سانتی‌گراد در بالا دست و پایین دست استوانه در مقایسه با جریان سرد نشان داده شده است.

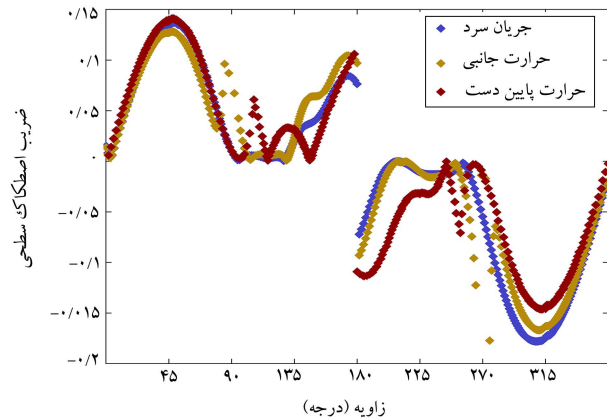
شکل ۴ نشان‌دهنده تغییرات نیروهای برا و پسا بی‌بعد در حالت‌های مختلف است. از این نمودار می‌توان دریافت که استفاده از المان حرارتی در نیمه‌ی پایین دست استوانه در کنترل جریان مؤثرتر است و به همین دلیل مورد استفاده قرار می‌گیرد. با افزایش دمای المان حرارتی نصب شده در پایین دست استوانه مطابق شکل ۵ دامنه نوسان نیروها کاهش یافته و حتی به سمت صفر می‌می‌کند. همچنین مقدار متوسط نیروی پسا به شکل قبل ملاحظه‌ی کاهش یافته است. عرض المان حرارتی متناسب با میزان مصرف انرژی و در نتیجه افزایش هزینه روش کنترلی است. به همین دلیل، کاهش تیریجی عرض المان نیز مطالعه شده است. المان حرارتی پایین دست استوانه با قسمت‌های قرمزنگ پایین و المان حرارتی جانبی با قسمت‌های آبی‌رنگ در شکل ۶ نشان داده شده است. در شکل ۷ تأثیر تغییر ضرایب آبودینامیکی، برای حالت‌های حرارت پایین دست و جانبی با دمای 100°C درجه سانتی‌گراد در مقایسه با جریان سرد، نمایش داده شده است. مشاهده می‌شود که استفاده از المان حرارتی در جوانب استوانه موجب افزایش دامنه نوسان نیروهای برا و پسا شده و منجر به ناپایداری می‌شود. در



شکل ۷. بررسی ضرایب آبیودینامیکی در جریان سرد و استفاده از المان حرارتی با دمای ۱۰۰۰ درجه سانتیگراد پایین دست و جانبی.

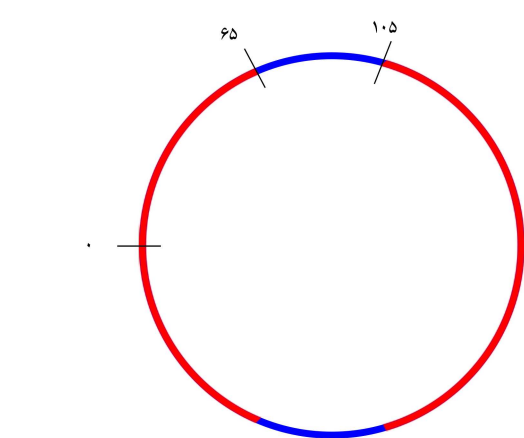


شکل ۵. تغییر ضرایب آبیودینامیکی با به کارگیری المان حرارتی در پایین دست استوانه و دماهای ۱۰۰، ۵۰۰ و ۱۰۰۰ درجه سانتیگراد در مقایسه با جریان سرد.



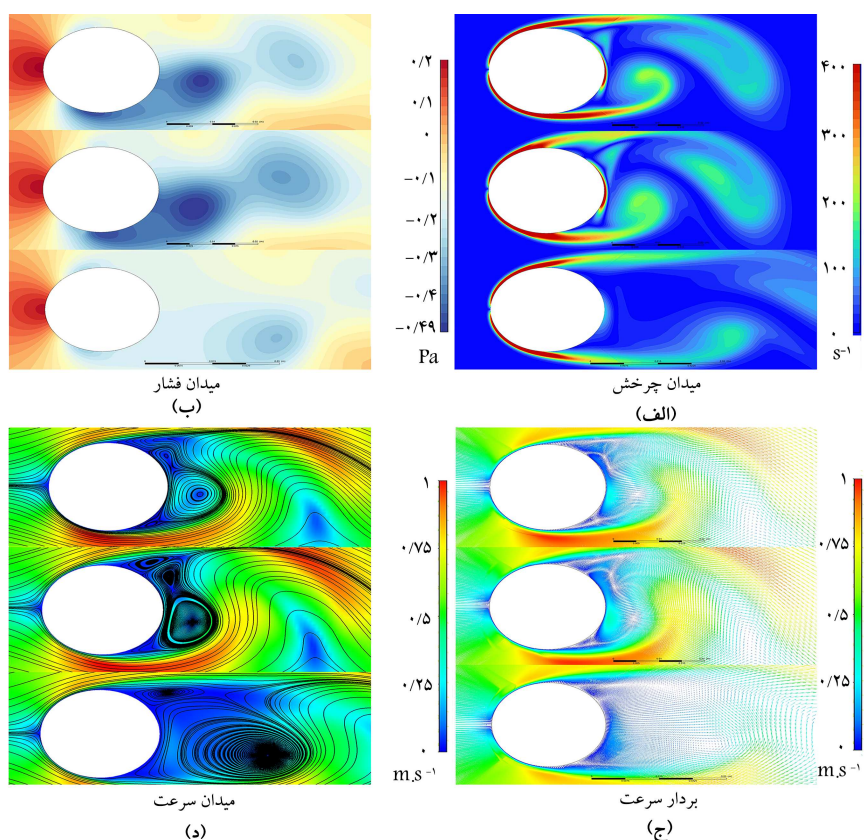
شکل ۸. تغییر ضریب اصطکاک سطحی در حالت گرمایش جانبی و پایین دست با المان حرارتی با دمای ۱۰۰۰ درجه در مقایسه با جریان سرد.

عامل باعث می شود که میزان چرخش گردابه کاهش یافته و گردابه ها در پایین دست استوانه کشیده تر شده و تقارن بیشتری نسبت به محور افقی پیدا کنند و در نتیجه لایه های برشی آزاد دیرتر یکدیگر را قطع کنند و توزیع متقاضن تری از سرعت و فشار به وجود آید. توزیع فشار در شکل ۹ ب نشان می دهد که مقدار کمیتهی فشار در پشت استوانه وجود دارد، در حالی که این ناحیه در حالت حرارت از پایین دست ناپدید شده است. علت آن است که در حالت حرارت از پایین دست مطابق رابطه ۱ با افزایش عدد ناسلت، اصطکاک سطحی افزایش و طبق معادله ۳ عدد رینولدز محلی کاهش می یابد و در نتیجه گرادیان سرعت در این ناحیه کاهش می یابد. این

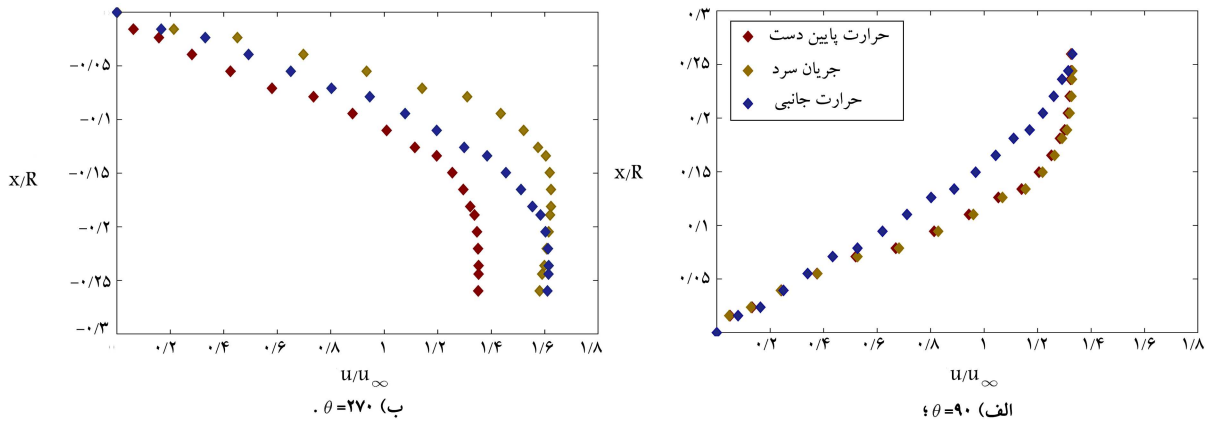


شکل ۶. محل قرارگیری المان حرارتی در موقعیت های مختلف.

به ۰/۲۳ افزایش یابد. عدد استروهال برای جریان سرد ۰/۲۱۸ است. شکل ۹ به ترتیب توزیع چرخش، توزیع فشار، خطوط جریان و توزیع سرعت در اطراف استوانه را در کمترین نیروی بر انشان می دهد. در جریان سرد و حرارت جانبی مطابق شکل ۹ الف ناحیه بی باریک با مقدار نسبتاً بزرگ چرخش جریان چسیبیده به پشت استوانه وجود دارد، در حالی که این ناحیه در حالت حرارت از پایین دست ناپدید شده است. علت آن است که در حالت حرارت از پایین دست مطابق رابطه ۱ با افزایش عدد ناسلت، اصطکاک سطحی افزایش و طبق معادله ۳ عدد رینولدز محلی کاهش می یابد و در نتیجه گرادیان سرعت در این ناحیه کاهش می یابد. این



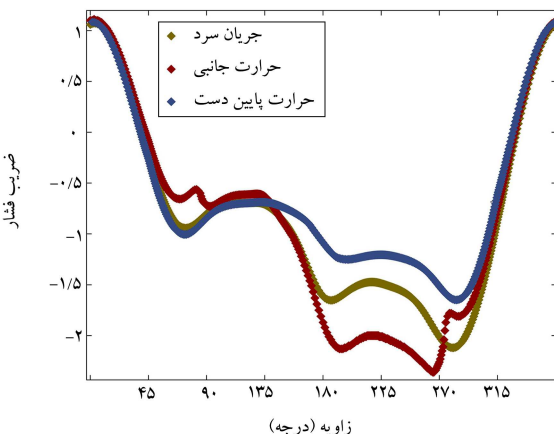
شکل ۹. (الف) توزیع چرخش؛ (ب) توزیع فشار؛ (ج) میدان بردار سرعت؛ (د) خطوط جریان در اطراف استوانه، تصویر بالایی مربوط به جریان سرد، تصویر میانی مربوط به حالت حرارت جانبی و تصویر پایینی برای حالت حرارت از پایین دست است.



شکل ۱۰. پروفیل سرعت جریان عبوری از روی استوانه برای حالات مختلف. (الف) $\theta = 90^\circ$ و (ب) $\theta = 270^\circ$.

کاهش اختلاف فشار بالادست و پایین دست استوانه با کاهش نیروی پسا همراه شده است. نکته‌ی قابل توجه دیگر تقارن توزیع فشار در نزدیکی نواحی جدایش (زوایای ۹۰ و ۲۷۰ درجه) است که از تقارن توزیع فشار پشت استوانه نشأت گرفته است. کاهش رینولز موضعی در نواحی جدایش جریان برای حالت حرارت جانبی به معنی کاهش سرعت جریان و افزایش فشار در مقایسه با جریان سرد است، به طوری که در زمان جدایش گرداهی بالایی، فشار در محل تشکیل آن، در مقایسه با جریان سرد، اندکی افزایش داشته است. شکل ۱۰ پروفیل سرعت بی بعد جریان در زوایای 90° و 270° را روی استوانه نشان می‌دهد. از تصاویر می‌توان دریافت که در حالت حرارت پایین دست، خلاف دو حالت دیگر، پروفیل سرعت در

جدایش گرداهه شده است. در جریان سرد و حرارت جانبی در زمان تشکیل گرداهه پایینی و ایجاد فشار منفی، گرداهه بالایی از قبل جدا شده و فشار در محل آن افزایش یافته، به طوری که همزمانی این دو رویداد موجب ایجاد اختلاف فشار قابل توجهی در محل تشکیل دو گرداه شده است. اما در حالت حرارت از پایین دست با افزایش طول گرداه و تأخیر در جدایش، در زمان جدایش گرداه بالایی، مرکز گرداه زیرین هم از سطح استوانه فاصله گرفته و فشار به تدریج در حال افزایش است. این توزیع متقارن میدان سرعت و فشار، عاملی بر کاهش دامنه نوسان نیروی برآست. در حالت حرارت پایین دست با افزایش لزجت هوا و پایداری میدان جریان، سرعت جریان کاهش و فشار پشت استوانه افزایش پیدا کرده است؛ به نحوی که



شکل ۱۱. توزیع ضربی فشار در حالات جریان سرد، حرارت جانبی و پایین دست برای المان حرارتی در دمای 1000° درجه سانتی گراد

بعدی بر روی نیروهای آبودینامیکی در معرض جریان هوا با رینولز 1000 مورد مطالعه قرار گرفت. مشاهده شد که موقعیت مکانی، اندازه و دمای المان حرارتی بر مقادیر نیروها و کنترل جریان مؤثر است، به نحوی که استفاده از المان حرارتی با دمای 1000° درجه سانتی گراد در زاویه 205° تا $105^{\circ} = \theta$ ، دامنه نوسان نیروی برا را 187% و متوسط نیروی پسا را 25.9% کاهش داد. همچنین اندازه گردابه ها، فرکанс جداش و بزرگی چرخش آنها و نیز توزیع فشار حول استوانه و تنش برشی در سطح آن با استفاده از المان حرارتی بر روی استوانه تغییر می کند. به طور کلی می توان چنین نتیجه گرفت:

- افزایش عدد ناسلت در سطح استوانه سبب کاهش رینولز جریان و افزایش لزجت هوا در محل المان حرارتی می شود. این امر افزایش تنش برشی وارد بر سطح استوانه را به همراه داشته و جداش جریان را به تأخیر می اندازد;
- استفاده از المان حرارتی در نیمه پایین دست استوانه (255° تا $90^{\circ} = \theta$) بیشترین تأثیر را در کاهش دامنه نوسان نیروهای برا و پسا و نیز متوسط نیروی پسا دارد;
- افزایش دمای المان حرارتی میران تغییرات در نیروهای وارد بر استوانه را شدت می بخشد؛
- اگرچه افزایش لزجت هوا در اثر افزایش دما ماهیتی پایدارکننده برای سیال دارد، استفاده از المان حرارتی در جوانب استوانه موجب ناپایداری جریان می شود. علت این پدیده کاهش موضعی سرعت جریان در اثر افزایش لزجت هوا در محل نصب المان حرارتی است که منجر به افزایش فشار می شود و در نتیجه، اختلاف فشار در بالا و پایین استوانه افزایش می پابد؛
- تغییر در لایه مرزی حرارتی موجب تغییر در مشخصه های گردابه ها می شود. به طوری که در حالت حرارت از پایین دست، افزایش لزجت هوا سبب می شود که قدرت گردابه ها کاهش و خطوط جریان متقارن تر شده و به دلیل به تأخیر افتادن قطع لایه های برشی آزاد دو طرف، جداش گردابه ها در فاصله بیی دورتر از استوانه اتفاق افتاده و طول آنها افزایش پابد. با کاهش گردابی های سرعت و فشار در پایین دست استوانه، توزیع فشار در اطراف آن تقارن بیشتری پیدا کرده و سبب کاهش اندازه و دامنه نوسان نیروهای وارد بر استوانه می شود.

منابع (References)

1. Sumner, D. "Two circular cylinders in cross-flow: A review", *Journal of Fluids and Structures*, **26**(6), pp. 849-899 (2010).
2. Muddada, S. and Patnaik, B.S. "An active flow control strategy for the suppression of vortex structures behind a circular cylinder", *European Journal of Mechanics-B/Fluids*, **1;29**(2), pp. 93-104 (2010).
3. Golani, R. and Dhiman, A. "Fluid flow and heat transfer across a circular cylinder in the unsteady flow regime", *Int. J. Eng.Sci*, **3**(3), pp. 8-19 (2014).
4. Sanitjai, S. and Goldstein, R.J. "Forced convection heat transfer from a circular cylinder in crossflow to air and liquids", *International Journal of Heat and Mass Transfer*, **47**(22), pp. 4795-4805 (2004).
5. Biswas, G. and Sarkar, S. "Effect of thermal buoyancy on vortex shedding past a circular cylinder in cross-flow at low reynolds numbers", *International Journal of Heat and Mass Transfer*, **52**(7-8), pp. 1897-1912 (2009).
6. Hamad, F. and He, S. "Heat transfer from a cylinder in cross-flow of single and multiphase flows", *International Journal of Mechanical, Aerospace, Industrial, Mechatronic and Manufacturing Engineering*, **11**(3), pp. 386-390 (2017).
7. Marquart, J., Endicott, D. and Dear, C. "CFD investigation of the drag effects of heating and cooling cylinders in crossflow", *In 6th AIAA Flow Control Conference* (2012).

8. Xiao-Feng, X. and et al. "Local heating effect of flow past a circular cylinder", *Chinese Physics Letters*, **27**(4), p. 044701 (2010).
9. Shi, J.M. and et al. "Heating effect on steady and unsteady horizontal laminar flow of air past a circular cylinder", *12 Physics of Fluids*, **16**(12), pp. 4331-4345 (2004).
10. Park, J.M. and et al. "Heat transfer characteristics of circular and elliptic cylinders in cross flow", *Advances in Mechanical Engineering*, **7**(11), p.1-8 (2015). DOI:10.1177/1687814015619553.
11. Achenbach, E. "Total and local heat transfer from a smooth circular cylinder in cross-flow at high reynolds number", *International Journal of Heat and Mass Transfer*, **18**(12), pp. 1387-1396 (1975).
12. Darvishyadegari, M. and Hassanzadeh, R. "Analysis of the convective heat transfer and flow behavior around two counter rotating side by side cylinders", *Heat Transfer-Asian Research*, **47**(6), pp. 835-854 (2018).
13. Xie, J. and Xie, G. "Vortex dynamics of supercritical carbon dioxide flow past a heated circular cylinder at low Reynolds numbers", *Physics of Fluids*, **34**(1), p. 017111 (2022).
14. Deepak, K. and et al. "Numerical investigation on laminar cross-flow around a top surface heated square cylinder", *In IOP Conference Series: Materials Science and Engineering*, IOP Publishing, (2021).
15. Bouzari, S. and Ghazanfarian, J. "Unsteady forced convection over cylinder with radial fins in cross flow", *Applied Thermal Engineering*, **112**, pp. 214-225 (2017).
16. Wang, A.B., Trávníček, Z. and Chia, K.C. "On the relationship of effective reynolds number and strouhal number for the laminar vortex shedding of a heated circu-
- lar cylinder", *Physics of Fluids*, **12**(6), pp. 1401-1410 (2000).
17. Aiba, S., Ota, T. and Tsuchida, H. "Heat transfer and flow around a circular cylinder with tripping-wires", *Wärme-und Stoffübertragung*, **12**(3), pp. 221-31 (1979).
18. Arif, M.R. and Hasan, N. "Effect of thermal buoyancy on vortex-shedding and aerodynamic characteristics for fluid flow past an inclined square cylinder", *Int. J. Heat Technol*, **38**(2), pp. 463-471 (2020).
19. Homsi, R., Islam, M.D., Fatt, Y.Y. and et al. "Flow dynamics over a heated cylinder subjected to high temperature ratios", *Case Studies in Thermal Engineering*, **27**, p. 101357 (2021).
20. Morris, A.S. and Langari, R., *Measurement and Instrumentation: Theory and Application*, Academic Press (2011).
21. Schlichting, H. and et al., *Boundary Layer Theory* Springer, Eighth Revised and Enlarged Edition (2000).
22. Ghiaasiaan, S.M., *Convective Heat and Mass Transfer*. CRC Press (2018).
23. Salehi, M.A., Mazaheri, S. and Kazeminezhad, M.H. "Study of flow characteristics around a near-wall circular cylinder subjected to a steady cross-flow", *International Journal of Coastal and Offshore Engineering*, **1**(4), pp. 45-55 (2018).
24. Lin, L., Zhong, X. and Wu, Y. "The drag, lift and strouhal number of a circular-section cylinder with a conic disturbance at subcritical reynolds numbers", *In International Conference on Offshore Mechanics and Arctic Engineering*, (Vol. **45400**, p. V002T08A001). American Society of Mechanical Engineers (2014).